

Cytotoxic effect of punicic acid of pomegranate seed oil on the cellular line of blood cancer (K652)

Roya Vazirijavid^{1*}, Hossein Maghsodi², Reza Hajihosseini¹

1. Department of Biochemistry, Payame Noor University, Tehran, Iran.

2. Department of Biotechnology, Payame Noor University, Shar Rey, Iran.

(Received: 2016/11/13 Accept: 2017/07/06)

Abstract

Background: Chronic myeloid leukemia (CML) is a malignant clonal disorder of hematopoietic stem cells that causes the increase of myeloid, erythroid cells, and blood platelets and hyperplasia in the bone marrow. This study is performed the effect of cytotoxicity of punicic acid of pomegranate seed oil on the cellular line of blood cancer (K652), as a model of Chronic Myeloid Leukemia.

Materials and Methods: In this experiential laboratory study. Punicic acid of pomegranate seed oil was purchased from Clarodan Kerman Co., representative of LCG Co. in Iran. K562 cells were cultured and were administered with densities of 8 to 100 micrograms per milliliters (in 24h, 48h, and 72h). Cellular toxicity of punicic acid against K562 leukemic cells was estimated using the MTT, LDH and SDH method. Absorption was measured using Elisa machine. Then the data were analyzed with the computer software SPSS version 15.0 (SPSS Inc., Chicago, USA), t.test and ANOVA.

Findings: Punicic acid of pomegranate seed oil shows the most cellular toxicity effect at $IC_{50}=50$ micrograms per milliliters and 72 hours after treatment. In other words, punicic acid of pomegranate seed oil expresses the effects of cellular toxicity on k562 cells, depending on the dosage.

Conclusion: Considering the toxicity of punicic acid of pomegranate seed oil, punicic acid can be considered a potential candidate for further CML studies, and other cancer cells.

Keywords: Cytotoxic, CML, K562, Punicic Acid, Leukemia

*Corresponding author: Roya Vazirijavid
Email: rvazirijavid@gmail.com

بررسی اثر سمیت سلولی پانیسیک اسید روغن هسته انار بر رده سلولی سرطان خون (K562)

رویا وزیری جاوید^{۱*}، حسین مقصودی^۲، رضا حاجی حسینی^۱

۱- گروه بیوشیمی دانشگاه پیام نور، تهران شرق، ایران

۲- گروه بیوتکنولوژی، دانشگاه پیام نور، شهرری، ایران

تاریخ دریافت مقاله: ۱۳۹۵/۰۹/۲۶ تاریخ پذیرش مقاله: ۱۳۹۶/۰۲/۲۵

چکیده:

سابقه و هدف: لوسمی میلیوئیدی خادمن من (CML) یک اختلال بدخیم سلول های بنیادی خون است که منجر به افزایش سلول های میلیوئیدی، سلولهای اریتروئیدی و پلاکت درخون محیطی و هیپرپلازی دروغ استخوان می شود. این تحقیق به منظور بررسی اثر سمیت سلولی و سیتو توکسیکی پانیسیک اسید روغن هسته انان بر رده سلولی (K562) به عنوان مدل لوسمی میلیوئیدی مزمن صورت گرفته است.

مواد و روش بورسی: در این مطالعه تجربی آزمایشگاهی، پانیسیک اسید روغن هسته انار از شرکت کارلا وان کرمان که نمایندگی شرکت LCG در ایران میباشد، خریداری شد. سلولهای K562 کشت داده شد و با غلظت های (۸۰-۱۰۰ میکروگرم بر میلی لیتر) و در فاصله زمانی (۲۴، ۴۸، ۷۲ ساعت) تحت درمان قرار گرفتند. سمیت سلولی پانیسیک اسید بر علیه سلولهای K562 لوسمی با استفاده از دستگاه الایزا و به ترتیب MTT و SDH و LDH برآورد شد. داده ها با استفاده از آزمون های آماری t-test و ANOVA و SPSS نسخه ۱۵ تجزیه و تحلیل شد.

یافته ها: پانیسیک اسید روغن هسته انار، بالاترین اثر سمیت سلولی را در $LC50=50$ میکروگرم بر میلی لیتر و ۷۲ ساعت پس از تیمار، از خود نشان می دهد. به عبارت دیگر، پانیسیک اسید هسته انار اثر سمیت سلولی وابسته به دوز را بر رده سلولی ۵۶۲ ک از خود بروز داده است.

نتیجه گیری: با توجه به سمیت سلولی پانیسیک اسید روغن هسته انار بر رده سلولی ۵۶۲ ک، پانیسیک اسید می تواند به عنوان یک کاندید بالقوه برای مطالعات بیشتر سرطان لوسمی میلیوئیدی مزمن و ساید سلول های سرطانی در نظر گرفته شود.

وازگان کلیدی: سیتو توکسیکی، K562، CML، پانیسیک اسید، لوسمی

*نویسنده مسئول: رویا وزیری جاوید

پست الکترونیک: rvazirijavid@gmail.com

مقدمه:

زمینه اثر ضد سرطانی پانسیپیک اسید روغن هسته اثار انجام نگرفته است، هدف از مطالعه حاضر تعیین سمیت سلولی پانسیپیک اسید روغن هسته اثار برده سلولی k562 به عنوان مدلی از CML می باشد تا اثر ضد سرطانی آن در درمان لوسومی به طور مقدماتی و برای اولین بار مورد ارزیابی قرار گیرد.

مواد و روشها:

این مطالعه به صورت تجربی و با شیوه آزمایشگاهی انجام گرفته است. پانسیپیک اسید روغن هسته اثار از شرکت کارلاوان کرمان که نماینده شرکت LCG آمریکا است، با خلوص ۹۸٪ خردباری شده است و تازمان استفاده در دمای منفی ۲۰ درجه نگهداری شد (نمودار کروماتوگرافی ومدارک ارسالی شرکت درزمنه پانسیپیک اسید خردباری شده به پیوست مقاله می باشد).

رده سلولی: به منظور انجام این مطالعه تجربی، رده سلولی k562 در آبان ۱۳۹۴ از انتستیتو پاستور ایران تهیه شد و به آزمایشگاه تحقیقاتی دانشگاه پیام نور مرکز شهری انتقال یافت. برای رشد این رده سلولی از محیط کشت ۱۶۴۰-RPMI شرکت سیگما (که غنی شده با سرم جنین گاوی Bio-idea (Fetal Bovine Serum-FBS) درصد ۱۰ درصد (۱۰۰ میکروگرم بر میلی لیتر (و پنی سیلین بیوتیک های استرپتومایسین ۱۰۰ واحد بر میلی لیتر، سینازن، استفاده شد. سلول ها در محیط کشت ۹۵ درصد و دمای ۳۷ درجه سانتی گراد قرار گرفتند.

سنجهش سمیت سلولی بر اساس روش MTT :

به منظور بررسی اثرات پانسیپیک اسید روغن هسته اثار بر سلول های K 562 تعداد ۱۰ سلول در ۱۲ پلیت قرار داده شد. بعد از ۲۴ ساعت سلول ها با غلظتها متفاوت پانسیپیک اسید روغن هسته اثار (۱۶، ۱۶، ۳۲، ۳۲، ۴۰، ۴۰، ۵۰، ۶۰، ۷۰، ۸۰، ۹۰، ۱۰۰ میکروگرم بر میلی لیتر) در فاصله زمانی ۷۲ ساعت تیمار شدند. پس از این بازه زمانی تعداد سلولهای هربیلت با استفاده از لام هموسایوتومتر و رنگ تریپان بلو (Merk آلمان) در زیر میکروسکوپ نوری (Hm-Lux آلمان) در قیاس با نمونه کنترل تیمار نشده مورد ارزیابی و شمارش قرار گرفت و جهت بررسی اثر کشنندگی پانسیپیک اسید روغن هسته اثار بر روی سلول های K562 از آزمون MTT (Thiazol Tetrazolium) استفاده شد. نمک تترازولیوم به واسطه فعالیت میتوکندریایی سلول های زنده به بلورهای فورمازان که جذب متفاوتی دارند احیاء می شوند. به این منظور ۱۰ سلول در هر پلیت کشت داده شد، پس از ۲۴ ساعت غلظت های متفاوتی از پانسیپیک اسید و حلال متابول اضافه شد پس از اتمام مراحل کشت، سلول ها را سانتریفیوژ با دور رسب کنند. سپس سلولهای را با PBS سرد شستشو داده و بر روی آنها محیط کشت حاوی MTT می افزاییم به مدت ۲ تا ۴ ساعت در انکوباتور CO2 در ۳۷ درجه سانتریگراد قرار می دهیم. در طی زمان سلولی اکسپریسیون MTT توسط سیستم سوکسینات دهیدروژناز که یکی از

(Chronic myeloid Leukemia (CML)، شایع ترین بیماری پرولیفراتیو، بیماری کلونال ناشی از جابجاگی دوطرفه بین ژن ABL1(Abelson murine Leukemia Viral Oncogene (Break Point BCR Hemology) بروی کروموزوم ۹ و ژن Cluster Region) بروی کروموزوم ۲۲، در سلولهای بنیادی خون ساز چند توانه می باشد، که تیروزین کیناز پیوسته و مداوم و بسیار فعالی را کد میکند که باعث خاصیت تکثیری بیشتر این سلولها می شود و از فاکتورهای مهم این لوسومی است (۱، ۴). این رده سلولی جدایش از نوعی سرطان خون به نام CML می باشد. اکثر مبتلایان این سرطان دچار جهش یا تغییر ژنتیکی موسوم به فیلادلفیا می باشند (۲). از نظر بالینی CML در سه فاز مزمن، سرعت بالا و بلاستیک ظاهر می شود (۳). هدف از درمان CML، نگه داشتن بیماران در فاز مزمن و جلوگیری از پیشرفت بیماری و کم کردن اثرات سایتوکسیکی داروهای مصرفی رایج این بیماران است. در حال حاضر ایمانتینیب مسیلات به عنوان خط اول درمان محسوب می شود اما درمان قطعی تر پیوند مغز استخوان است (۵). آپوپتوز، فرایند تنظیم شده مرگ سلولی است، که باعث حذف سلولهای آسیب دیده، بدون صدمه به سلولهای دیگر در ارگانیسم های چند سلولی و ثابت نگاه داشتن محیط داخلی بدن است. داروهای شبیمی درمانی منجر به القاء آپوپتوز و مهار رشد سلولی می شوند (۶).

استفاده از گیاهان دارویی و طب مکمل به خاطر اثرات مفید فیتوکمیکال ها در درمان بیماریهای مختلف مخصوصا سرطان مورد توجه محققین علوم پزشکی قرار گرفته است (۵۱). موضوع جالب این است که بیشترین اثر درمانی بر روی سلولهای نئوپلاستیک سرطان به علت خواص مواد آنتی اکسیدانی موجود در ترکیبات گیاهی بوده است (۵۲، ۵۱). درخت اثار، درخت کوچکی است از خانواده Punicaceae که بومی مشرق زمین است و ایران یکی از تولیدکنندگان عمده اثار در جهان می باشد (۸). مقدار روغن هسته اثار از ۱۹/۳٪ تا ۶/۶٪ و میزان اسید لینولینیک (C18: ۳) به عنوان اسید چرب عمده موجود در روغن هسته اثار (۳۱/۸٪ تا ۱۶/۶٪) و لینولئیک اسید (۷/۰٪ تا ۴/۲٪) و اسید اولئیک (۴/۰٪ تا ۴/۷٪) است (۹). Punicic Acid (PA)، میدهد، که از اسید لینولینیک سنتز می شود (۱۳-۱۰). در مطالعات جدید اثار بدليل محتوای بالای فیتوکمیکالها در درمان انواع سرطان مورد توجه قرار گرفته است (۵۵-۵۳). در مطالعات متعددی اثر خدالهای PA یا پانسیپیک اسید از طریق مهار بیان ژنها تا TNF- α ، سیتوکین های پیش التهابی، کموکایین ها، سیکلوكسیزناز، NO سنتزاز و متالوبروتئینازها بررسی و تایید شده است (۱۶-۱۴). قسمت های مختلف اثار و ترکیبات آنها در تحقیقات مختلفی در زمینه سرطان مورد بررسی قرار گرفته است از آن جمله درسرطان سینه (بر روی رده سلولی MCF-7)، سرطان پروستات (رده سلولی DU-145، LAPC-4) سرطان کولون (رده سلولی K562 و همچنین مطالعه بالینی بر روی بیماران) سرطان پانکراس و سایر سرطان ها انجام شده است (۵۷-۶۲). با توجه به اینکه تا به حال مطالعه جامعی در

$$\text{Reaction Time} = T_{\text{final}} - T_{\text{initial}} \text{ (minutes)}$$

$Sv = \text{حجم اضافه شده برای هر نمونه}$

سنجهش سمیت سلولی بر اساس روش LDH assay

به منظور بررسی سنجهش سمیت پانیسیک اسید روغن هسته اثار بر سلول های K562 تعداد ۱۰^۶ سلول در ۱۲ پلیت قرار داده شد بعداز ۲۴ ساعت به پلیت اول به عنوان بلانک چیزی اضافه نشد و به پلیت دوم متنالو به عنوان حلال و به پلیت سوم به عنوان کنترل مثبت مقدار ۲۰ میکرولیتر داروی استاندارد دوکسوروپیسین با غلظت ۲۰۰ میلی گرم بر میلی لیتر اضافه شد و به سایر پلیت ها به ترتیب با غلظت های متفاوت پانیسیک اسید روغن هسته اثار (۱۶.۸، ۳۲، ۲۴، ۵۰، ۴۰، ۳۸، ۲۲، ۲۴، ۵۰، ۸۰، ۷۰، ۶۰، ۵۰) در فاصله زمانی ۲۴ ساعت تیمار شدند. این روند در سه روز (۴۸، ۷۲ و ۹۶ ساعت) به منظور بررسی تاثیر بازه زمانی تکرار گردید. پس از این بازه زمانی تعداد سلولهای هرپلیت با استفاده از لام هموسایتومرورنگ تریپان بلو (Merk آلمان) در زیر میکروسکوپ نوری Hm-Lux (آلمان) در قیاس با نمونه کنترل تیمار نشده مورد ارزیابی و شمارش قرار گرفت. در این روش از کیت تشخیص لاکتات دهیدروژناز استفاده گردید. این روش یک روش رنگ سنجی دقیق و بسیار ساده برای تعیین سیتوکیتی با سیتوولیز به وسیله سنجهش فعالیت لاکتات دهیدروژناز آزاد شده از سلول های آسیب دیده می باشد. لاکتات دهیدروژناز LDH آنزیم اکسیدوردوکازی است که در آخرین مرحله گلیکولیز باعث تبدیل پیرووات به لاکتات می شود. در سلول ها این آنزیم پس از آسیب باقی و با همولیز گلوبول قرمز ترشح می شود. از آنجایی که LDH آنزیم نسبتاً پایدار است. این آنزیم در شرایط پاتولوژیک خاص مانند سرطان افزایش می یابد. کمیت سنجی LDH موارد استفاده گسترده ای دارد. LDH موجب احیا NAD به NADH می شود که به طور اختصاصی توسط روش کلوریمتریک در ۴۵۰nm اندازه گیری می شود.

میزان فعالیت آنزیم آنزیم LDH nanomol/min/ml میزان شده و میزانی از آنزیم است که تبدیل پیرووات به لاکتات را به منظور تولید ۱.۰ μmol از NADH LDH assay به مدت ۱ دقیقه در دمای ۳۷°C (پروتکل روش

از شرکت سیگما).

اندازه گیری به مدت مدت ۱۰ الی ۱۵ دقیقه به فواصل ۵ دقیقه تکرار تا این که میزان قرائت شده بیشتر از میزان قرائت شده برای بالاترین غلظت نمونه استاندارد ۱۲.۵ nanomol/well شد. برای تعیین میزان فعالیت آنزیم از فرمول زیر استفاده شد. با استفاده از اعداد به دست آمده و غلظت های متفاوت محلول استاندارد LDH منحنی استاندارد را رسم شد.

Ab 450 final Blank – Ab final St

میزان نهایی قرائت شده هر کدام از نمونه ها از میزان اولیه قرائت شده از همان نمونه کم می شود.

$\Delta Ab 450 = Ab 450 \text{ final Sample} - Ab 450 \text{ initial Sample}$
با مقایسه اعداد به دست آمده با منحنی استاندارد، برای اندازه گیری میزان فعالیت آنزیم بین زمان اولیه و انتهایی، از فرمول زیر به منظور تعیین فعالیت آنزیم میتوان استفاده شد.

$$\text{LDH Activity} = B \times \text{Sample dilution factor} / \text{Reaction time} \times V$$

آنریمهای چرخه تنفسی میتوکندری است احیا می شود (۶۳). احیا و شکسته شدن این حلقة موجب تولید کریستالهای آبی رنگ فورمازان می شود که در زیر میکروسکوپ براحتی قابل تشخیص هستند. سپس نمونه ها با استفاده از دستگاه الایزا (stafix-2100 آمریکا) خوانده شد.

تجزیه و تحلیل آماری داده ها با استفاده از نرم افزار SPSS نسخه ۱۵ آنالیز پک طرفه ANOVA و آزمون T.Student و سطح معنی داری کمتر از ۰.۰۵ p از نظر آماری معنی دار در نظر گرفته شده است.

سنجهش سمیت سلولی بر اساس روش SDH assay

به منظور بررسی سنجهش سمیت پانیسیک اسید روغن هسته اثار بر سلول های K562 تعداد ۱۰⁶ سلول در ۱۲ پلیت قرار داده شد. بعداز ۲۴ ساعت به پلیت اول به عنوان بلانک چیزی اضافه نشد و به پلیت دوم متنالو به عنوان حلال و به پلیت سوم به عنوان کنترل مثبت مقدار ۲۰ میکرولیتر داروی استاندارد دوکسوروپیسین با غلظت ۲۰۰ میلی گرم بر میلی لیتر اضافه شد و به سایر پلیت ها به ترتیب با غلظت های متفاوت پانیسیک اسید روغن هسته اثار (۱۶.۸، ۳۲، ۲۴، ۵۰، ۴۰، ۳۸، ۲۲، ۲۴، ۵۰، ۸۰، ۷۰، ۶۰، ۵۰) در فاصله زمانی ۲۴ ساعت تیمار شدند. این روند در سه روز (۴۸، ۷۲ و ۹۶ ساعت) به منظور بررسی تاثیر بازه زمانی تکرار گردید. پس از این بازه زمانی تعداد سلولهای هرپلیت با استفاده از لام هموسایتومر و رنگ تریپان بلو (Merk آلمان) در زیر میکروسکوپ نوری Hm-Lux (آلمان) در قیاس با نمونه کنترل تیمار نشده مورد ارزیابی و شمارش قرار گرفت. در این روش از کیت تشخیص سوکسینات دهیدروژناز استفاده شد. که یک روش رنگ سنجی دقیق می باشد. سوکسینات دهیدروژناز (SDH EC1.3.5.1) آنزیم میتوکندریایی است. این آنزیم اکسیداسیون سوکسینات به فومارات را کاتالیز می کند و الکترون ها را از CoQ به FADH تransfer می کنند و در نگهداری متabolیسم انرژی سلولی از طریق سیکل کربس (تری کربوکسیلیک اسید) و زنجیره انتقال الکترون را دارد (۶۴). فعالیت SDH توسط تولید محصولی با جذب در ۶۰۰nm متناسب با حضور فعال آنزیم مشخص شده است. یک واحد از SDH مقادیری از آنزیم است که ۱ μmol DCIP در دقیقه در pH=۷/۲ و در دمای ۳۰°C (پروتکل روش SDH assay از شرکت سیگما). اندازگیری میزان جذب (Ab) در طول موج ۶۰۰ nm در فواصل زمانی ۵ دقیقه در طول مدت زمان ۳۰-۱۰ دقیقه انجام گرفت. سپس اندازگیری میزان جذب (Ab) در طول موج ۶۰۰ nm هر ۵ دقیقه تا زمانیکه میزان جذب نمونه ها بیشتر از میزان جذب نمونه استاندارد با غلظت ۴۰ nanmol/well در این مرحله میزان جذب به دست آمده تقریباً نزدیک به میزان خطی از نمونه استاندارد شد. این میزان برابر با T final می باشد. اندازه گیری نمونه های استاندارد در انتهای مرحله قرائت شود. و با استفاده از فرمول ذیل منحنی استاندارد رسم شد.

$$\Delta Ab = Ab(T_{\text{Final}}) - Ab(T_{\text{Initial}})$$

باد استفاده از فرمول زیر میزان فعالیت آنزیم اندازه گیری می شود.
 $SDH \text{ activity} = \frac{S_a}{V} = \frac{\text{Mیزان DCIP (nmole)}}{\text{تولید شده برای هر نمونه چاهک بین اولین و آخرین قرائت میزان جذب}}$

معادل با LC50 می‌باشد ولی از آنجایی که این غلظت باعث از بین رفتن نیمی از سلول‌ها شده، نیاز به استفاده از غلظتی می‌باشد که قادر اثر توکسیک بر سلول باشد که این امر با تعیین میانگین Media LC50 امکان پذیر بوده و معادل با ۵۰٪ می‌باشد.

نتایج نشان می‌دهد که طی سه روز، درصد بقای سلولهای K562 در غلظت‌های مختلف هر چقدر غلظت پانیسیک اسید بیشتر شده است، پایین $p \leq 0.05$ تر آمده است. همچنین آنالیز آماری مربوط به نتایج همه داده‌ها $p \leq 0.05$ تر آمده است. را نشان می‌دهد که سطح معنا داری در نظر گرفته می‌شود. به عبارت دیگر پانیسیک اسید باعث اثر سیتوتوکسیتی یا ضد سلطانی در سلول‌های K562 می‌شود که البته بهترین خاصیت سمیت سلولی در غلظت پایین ۸ میکروگرم بر میلی لیتر و ۷۲ ساعت بقای سلولی شروع به کم شدن کرده است که کم ترین درصد بقای سلول ۶۲ K562 در زمان ۷۲ ساعت به ثبت رسیده است.

نتایج LDH:

بر اساس آزمون LDH نتایج جذب نوری (OD) بر حسب غلظت‌های ۸، ۱۶، ۳۲، ۴۰، ۴۸، ۵۰، ۵۰، ۶۰، ۷۰، ۸۰، ۹۰، ۱۰۰ میکروگرم بر میلی لیتر پانیسیک اسید در مقایسه با میزان بقای سلولی به صورت رسم نمودار به دست آمد. همانگونه که در نمودار ۶ ملاحظه می‌شود، پانیسیک اسید در غلظت ۸ میکروگرم بر میلی لیتر تاثیری بر فعالیت متabolیک سلول ندارد ولی با افزایش غلظت، منجر به کاهش فعالیت سلولی و کاهش میزان فعالیت سلولی شده به صورتی که در غلظت ۵۰ میکروگرم بر میلی لیتر میزان سلول‌های سالم و از بین رفته برابر با ۵۰٪ می‌باشد که معادل با نتایج از آنجاییکه این غلظت باعث از بین رفتن نیمی از سلول‌ها شده، نیاز به استفاده از غلظتی می‌باشد که قادر اثر توکسیک بر سلول باشد که این امر با تعیین میانگین Media LC50 امکان پذیر بوده و معادل با ۳۲ میکروگرم بر میلی لیتر پانیسیک اسید می‌باشد.

نتایج نشان می‌دهد که طی سه روز، درصد بقای سلولهای K562 در غلظت‌های مختلف هر چقدر غلظت پانیسیک اسید بیشتر شده است، پایین $p \leq 0.05$ تر آمده است. همچنین آنالیز آماری مربوط به نتایج همه داده‌ها $p \leq 0.05$ را نشان می‌دهد که سطح معنا داری در نظر گرفته می‌شود. به عبارت دیگر پانیسیک اسید باعث اثر سیتوتوکسیتی یا ضد سلطانی در سلول‌های K562 می‌شود که کم ترین درصد بقای سلول ۶۲ K562 در زمان ۷۲ ساعت و با غلظت ۱۰۰ میکروگرم بر میلی لیتر به ثبت رسیده است.

بررسی آماری:

جدول شماره ۲ بیانگر درصد بقای سلول‌های K562 در حضور گروههای کنترل می‌باشد که برای بررسی دقیق تر اثر سیتوتوکسیتی از داروی استاندارد دوکسوروبیسین به عنوان کنترل مثبت استفاده شد.

تجزیه و تحلیل آماری داده‌ها با استفاده از نرم افزار SPSS نسخه ۱۵ آنالیز یک طرفه ANOVA و آزمون t.student میانگین معنی‌داری کمتر از $p < 0.05$ یا $p > 0.05$ از نظر آماری معنی‌دار در نظر گرفته شده است.

یافته‌ها:

نتایج تست MTT:

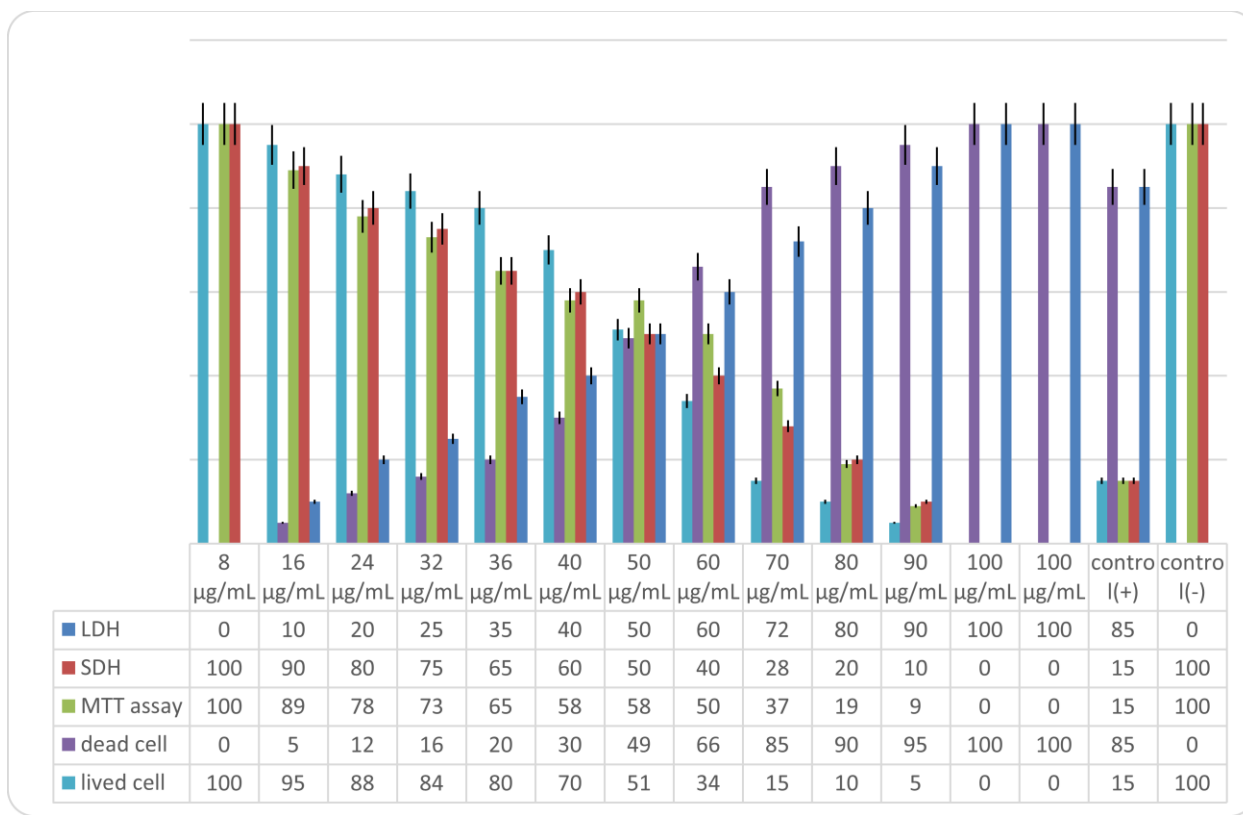
بر اساس آزمون MTT نتایج جذب نوری (OD) بر حسب غلظت‌های ۸، ۱۶، ۳۲، ۴۰، ۴۸، ۵۰، ۶۰، ۷۰، ۸۰، ۹۰، ۱۰۰ میکروگرم بر میلی لیتر پانیسیک اسید روغن هسته اثار در مقایسه با میزان بقای سلولی به صورت رسم نمودار پس از ۲۴ و ۴۸ و ۷۲ ساعت به دست آمد. لازم به توضیح است بازه انتخابی غلظت پانیسیک اسید بر مبنای اثرات ضد سلطانی آن در مقالات مختلف وهم چنین مطالعات اولیه صورت گرفته در آزمایشگاه بوده است نمودارها بیانگر درصد بقای سلول ۶۲ K562 بعداز تیمار با پانیسیک اسید با غلظت‌های متفاوت (۸ تا ۱۰۰ میکروگرم بر میلی لیتر) می‌باشد. همان طور که در این شکل مشاهده می‌کنید بیشتر ترین درصد بقای سلول ۶۲ K562 در غلظت ۸ میکروگرم بر میلی لیتر در ۲۴ ساعت (جدول ۱) و کم ترین درصد بقای سلول ۶۲ K562 در غلظت ۱۰۰ میکروگرم بر میلی لیتر بعداز ۷۲ ساعت به دست آمد. نموداریک نشان می‌دهد $= 5 =$ میکروگرم بر میلی لیتر (غلظتی از پانیسیک اسید روغن هسته اثار که در آن ۵۰ درصد سلول‌ها در محیط کشت از بین می‌روند) می‌باشد.

نتایج نشان میدهد که بعد از ۷۲ ساعت میزان بقای سلولهای K562 در غلظت‌های مختلف هر چقدر غلظت پانیسیک اسید بیشتر شده است، پایین ترین تر آمده تا در غلظت ۱۰۰ میکروگرم بر میلی لیتر هیچ سلول زنده‌ای مشاهده نشد و بهترین خاصیت سمیت سلولی غلظت ۵۰ میکروگرم بر میلی لیتر بروز کرده است.

نتایج نشان می‌دهد که طی سه روز، درصد بقای سلولهای K562 در غلظت‌های مختلف هر چقدر غلظت پانیسیک اسید بیشتر شده است، پایین $p \leq 0.05$ تر آمده است. همچنین آنالیز آماری مربوط به نتایج همه داده‌ها $p \leq 0.05$ را نشان می‌دهد که سطح معنا داری در نظر گرفته می‌شود. به عبارت دیگر پانیسیک اسید باعث اثر سیتوتوکسیتی یا ضد سلطانی در سلول‌های K562 می‌شود که کم ترین درصد بقای سلول ۶۲ K562 در زمان ۷۲ ساعت و با غلظت ۱۰۰ میکروگرم بر میلی لیتر به ثبت رسیده است.

نتایج SDH:

بر اساس آزمون SDH نتایج جذب نوری (OD) بر حسب غلظت‌های ۸، ۱۶، ۳۲، ۴۰، ۴۸، ۵۰، ۶۰، ۷۰، ۸۰، ۹۰، ۱۰۰ میکروگرم بر میلی لیتر پانیسیک اسید روغن هسته اثار در مقایسه با میزان بقای سلولی به صورت رسم نمودار به دست آمد. همانگونه که در نمودار ۵ ملاحظه می‌شود، پانیسیک اسید در غلظت ۸ میکروگرم بر میلی لیتر تاثیری بر فعالیت متabolیک سلول ندارد ولی با افزایش غلظت، منجر به کاهش فعالیت سلولی و کاهش میزان فعالیت سلولی شده به صورتی که در غلظت ۵۰ میکروگرم بر میلی لیتر میزان سلول‌های سالم و از بین رفته برابر با ۵۰٪ می‌باشد که



نمودار ۱ نمودار LC50 همان طور که در نمودار فوق مشاهده می شود هر چقدر غلظت پانیسیک اسید بروی سلول ها بیشتر شده میزان زنده مانی سول ها کم شده است و در غلظت ۵۰ میکروگرم بر میلی لیتر ۵۰ درصد سلول ها از بین رفته اند. برای کنترل مثبت از داروی دوکسسوروبیسین و برای کنترل منفی سلول تنها بکار رفته است.

جدول ۱. درصد بقاء سلول های K562 بر اساس تست تریپان بلو و رقت های سریالی تهیه شداز پانیسیک اسید روغن هسته انار

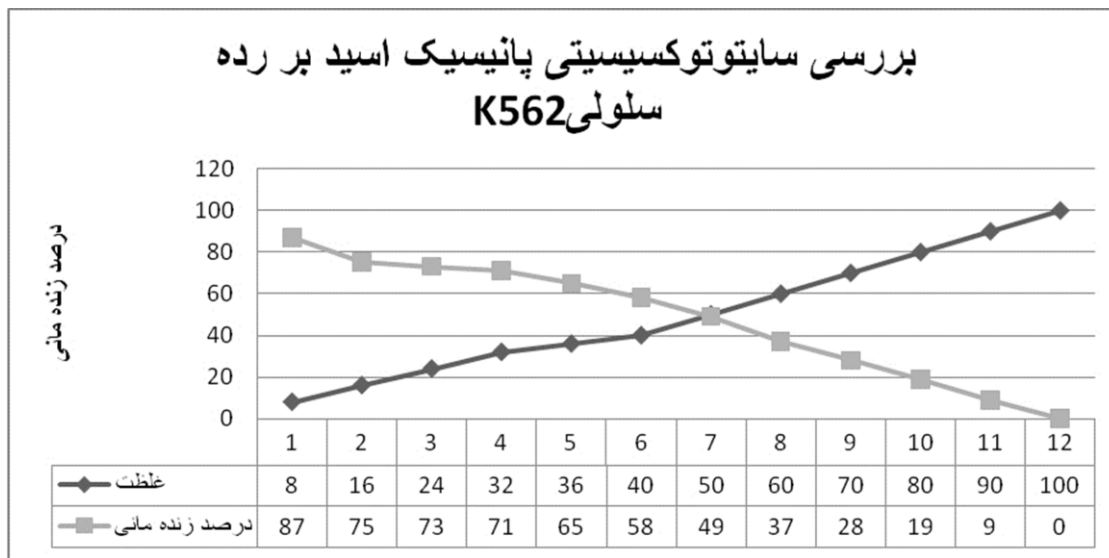
غلظت ها براساس میکروگرم													
تعداد سلول زنده													
درصد سلول زنده													
تعداد سلول مرده													
درصد سلول مرده													
۱۰۰	۹۰	۸۰	۷۰	۶۰	۵۰	۴۰	۳۶	۳۲	۲۴	۱۶	۸		
۰	۲	۱۰	۱۵	۳۴	۴۸	۸۲	۱۲۷	۱۴۵	۱۵۷	۱۷۲	۲۸۴		
%	%۲	%۱۰	%۱۵	%۳۴	%۵۱	%۷۰	%۸۰	%۸۴	%۸۶	%۸۹	%۹۵		
۱۵۰	۱۰۲	۹۵	۸۲	۶۴	۴۵	۳۵	۳۰	۲۷	۲۵	۲۰	۱۶		
%۱۰۰	%۹۸	%۹۰	%۸۵	%۶۶	%۴۹	%۳۰	%۲۰	%۱۶	%۱۴	%۱۱	%۵		

جدول ۲. درصد بقاء سلول های K526 در گروه کنترل منفی (بدون انسان)، کنترل منفی ۲ (با مтанول به عنوان حلال روغن) و در حضور کنترل مثبت (داروی دوکسسوروبیسین)

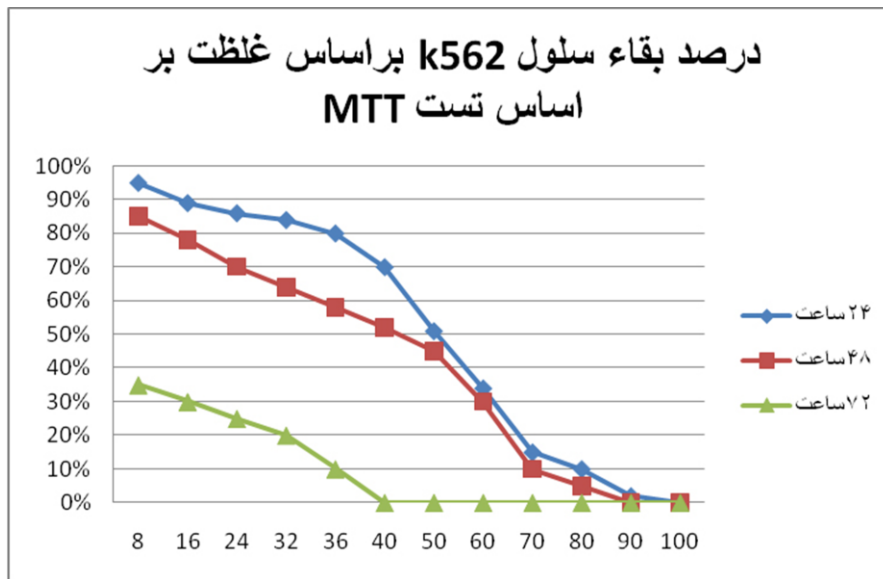
نوع تست	کنترل مثبت (دوکسسوروبیسین)	کنترل منفی (متانول به عنوان حلال)	کنترل منفی سلول تنها (بدون انسان)
تریپان بلو	۱۵/۳±۱/۵	۹۷/۱±۱/۹	۱۰۰±۴/۵
MTT	۱۵/۱±۱/۲	۹۷/۷±۲/۱	۱۰۰±۴/۶
SDH	۱۵/۴±۱/۶	۹۷/۴±۱/۶	۱۰۰±۴/۶
LDH	۱۵/۳±۱/۷	۹۷/۲±۱/۸	۱۰۰±۴/۶

بر اساس نتایج هر چهار سنجش انجام شده، غلظتی از پانیسیک اسید که

بتواند رشد سلول ها را تا ۵۰ درصد مهار کند $LC50=50 \text{ میکروگرم}$ بر



نمودار ۲ و ۳ اثرات پانیسیک اسید روغن هسته انار بر درصد بقای سلول های K562. سلول ها با غلظت های متفاوت از پانیسیک اسید تیمار و میزان بقای سلول ها با استفاده از شمارش سلولی و آزمون دفع رنگ تریپان بلو مورد ارزیابی قرار گرفت نتایج به صورت نمودار فوق نمایش داده شده است.

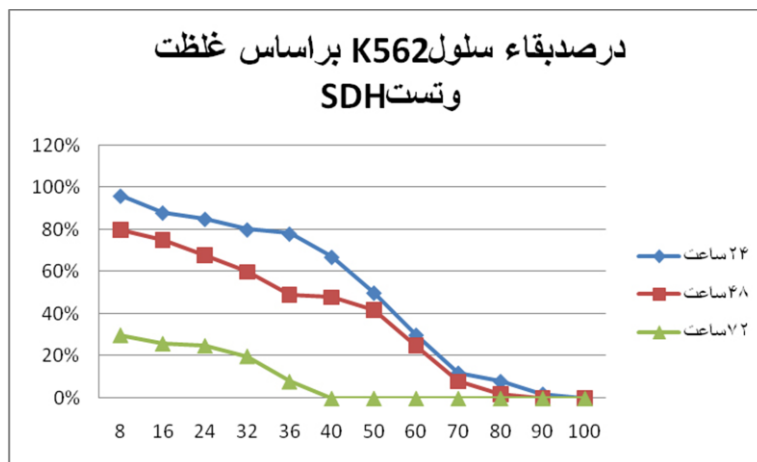


نمودار ۴ اثرات پانیسیک اسید روغن هسته انار بر درصد بقای سلول های K562 سلول ها با غلظت های متفاوت از پانیسیک اسید با فاصله های زمانی ۷۲، ۴۸ و ۲۴ ساعت تیمار و میزان بقای با استفاده از تست MTT مورد ارزیابی قرار گرفت. نتایج به صورت میانگین سه تکرار مستقل \pm خطای استاندارد نمایش داده شده است.

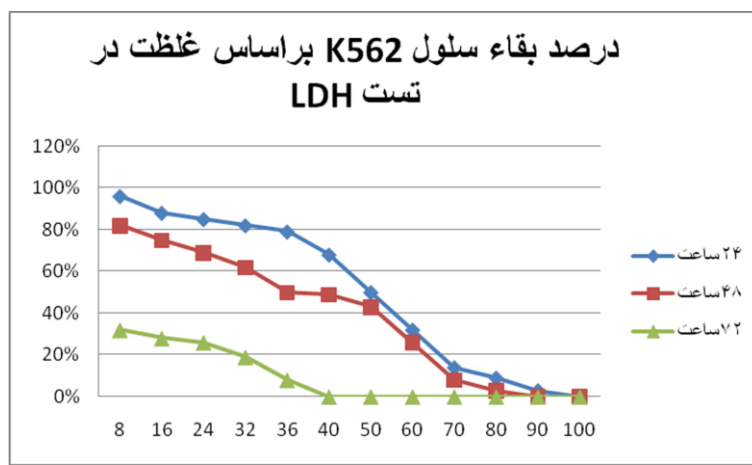
نتایج مورفولوژیکی:

بررسی تغییرات ظاهری بر روی سلول های تیمار شده با پانیسیک اسید، نشان دهنده تغییرات ریخت شناسی مشخصی در سلول های تیمار شده نسبت به کنترل بود. در شکل یک تکه تکه شدن کروماتین و برهم خوردگی شکل کروی سلول ها در $LC_{50}=50$ میکروگرم بر میلی لیتر یعنی دقیقا در غلظتی که بیش ترین اثر سایتو توکسیکی دیده می شود، نمایش داده شده است (شکل ۱). به طوری که سلول ها در این غلظت به طور دسته-

میلی لیتر و میزان میانگین آن $LC_{50}=32$ میکروگرم بر میلی لیتر می باشد. به طور کلی بر اساس تست های انجام شده و مقایسه داده های بدست آمده از میزان سنجش قابلیت سلولهای سرطانی K562 تحت تیمار با پانیسیک اسید، تفاوت معنی دار ($P \leq 0.05$) نشان داده شد.



نمودار ۵ اثرات پانیسیک اسید بر درصد بقاء سلول های K562 سلول ها با غلظت های متفاوت از پانیسیک اسید با فاصله های زمانی ۲۴، ۴۸ و ۷۲ ساعت تیمار و میزان بقای با استفاده از تست SDH مورد ارزیابی قرار گرفت. نتایج به صورت میانگین سه تکرار مستقل ± خطای استاندارد نمایش داده شده است.



نمودار ۶ اثرات پانیسیک اسید بر درصد بقاء سلول های K562. سلول ها با غلظت های متفاوت از پانیسیک اسید با فاصله های زمانی ۲۴، ۴۸ و ۷۲ ساعت تیمار و میزان بقای با استفاده از تست LDH مورد ارزیابی قرار گرفت. نتایج به صورت میانگین سه تکرار مستقل ± خطای استاندارد نمایش داده شده است.

به خاطر استفاده راحت و دقت کافی در رسیدن به نتیجه استفاده می شود (۲۸). روش رنگ سنجی احیای نمک متیل تیازول تترزاول زولیوم (Thiazol Tehrazzolum-MTT) بسیار سریع، حساس و قابل اندازه گیری برای همه رده های سلولی است و رنگ هایی مثل MTT و نوتراال رد کاربرد بیشتری دارند (۲۹). اساس ارزیابی این روش، قدرت آنزیم دهیدروژناز میتوکندریایی است (۳۰). یکی از فاکتورهای موثر در MTT تعداد سلولهای زنده است که برای اطمینان در حد سلولهای زنده (Viability) را با ترتیبیان بلو اندازه گیری میکنیم. باید توجه نمود که اساس بررسی سمیت سلولی دارو ها یا گیاهان دارویی بر روی سلولهای مشاهده تغییرات مورفولوژیکی آن ها می باشد (۳۱). در این مطالعه به بررسی اثر سمیت سلولی ناشی از پانیسیک اسید روغن هسته اثار با غلظت های متفاوت بر رده سلولی سرطان خون میلیوئیدی مژمن انسان (K562) پرداخته شد و اثر سایتو توکسیسیتی وابسته به دوز را نشان داد. به طوری که

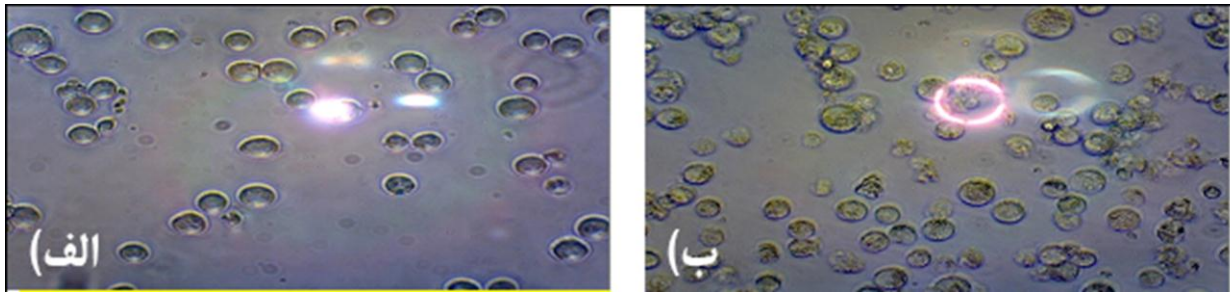
جمعی یا منفرد، تحلیل رفتگی و واکویله شده و کاهش سیتوپلاسم و پیگماته شدن و به خصوص توقف تکثیر میتوز را در مقایسه با کنترل نشان می دهد. این نتایج بیان گر اثر سمیت سلولی پانیسیک اسید بر رده سلولی K562 می باشد.

بحث:

امروزه روش های مختلفی در درمان سرطان خون به کار گرفته می شود؛ از جمله این روش ها شیمی درمانی است. ولی داروهایی که برای درمان لوسومی بکار می روند درصد زیادی از سلولهای سالم خون را نیز به همراه سلول های سرطانی ازبین می برند (۳۰) و سبب ایجاد مقاومت دارویی و عدم تاثیر و در نهایت سبب مرگ بیمار می گردند (۳۱-۳۲). در این راستا سنجش میزان بقاء و تکثیر سلولی در تعیین میزان اثر داروهای ضد سرطانی بر روی سلولها، امری مهم به نظر می رسد که در این خصوص روش های متعددی استاندارد شده است (۲۷). امروزه بیشتر از روش های رنگ سنجی

جدول ۳. مقایسه میانگین درصد توانایی زیستی سلول های سرطانی k562 با پانیسیک اسید و سنجش میزان بقاء بر اساس چهار تست تریپان بلو، LDH، SDH و MTT اندازه گیری شده است. مقادیر به صورت $\text{means} \pm \text{SD}$ بوده و تفاوت میانگین در سطح $p \leq 0.05$ معنا دار در نظر گرفته شد.

نوع تست	K562	غلاظت (ماکروگرم بر میلی لیتر)
سنخش تریپان بلو	$50/58 \pm 3/07$	۵۰
MTT	$51/68 \pm 2/48$	۵۰
SDH	$50/81 \pm 2/6$	۵۰
LDH	$50/61 \pm 0/38$	۵۰



شکل ۱. تغییرات ظاهری ایجاد شده در سلول های تیمار شده با پانیسیک اسید غلاظت ۵۰ ماکروگرم بر میلی لیتر پس از گذشت ۷۲ ساعت مورد بررسی قرار گرفت و تغییرات ظاهری آن با میکروسکوپ HM-LUX مورد مطالعه قرار گرفت. به تکه تکه شدن کروماتین و برهم خوردگی شکل سلول ها در قسمت ب توجه نمایید (بزرگ نمایی $X=400$): (الف) - سلول های ابتدایی محیط کشت بدون پانیسیک اسید (PA)، (ب) - همان سلول ها پس از ۷۲ ساعت که تحت تأثیر PA قرار گرفته اند.

آزمایشگاهی در سرطان سلول های پروستات انسانی (PC-3) و یا تکثیر سلول های DU 145 (۱۹، ۲۱، ۲۲). جالب توجه است، ترکیبی از فراکسیون های فعال اثار و روغن هسته انان، اثرات هم افزایی در برابر تهاجم و تکثیر سلول های سرطان پروستات دارد (۱۹). پانیسیک اسید آپوپتوز داخلی ناشی از یک مسیر درونی وابسته به کاسپاز را مهار میکند، بنابراین به طور موثر مهار رشد سلول های LNCaP وابسته به آندروژن، که ممکن است توسط هر دو مکانیزم ضد آندروژن و طرفدار آپوپتوز باشد را برعهده دارد (۲۰). در مطالعه ای فعالیت سیتوتوکسیک و القاء آپوپتوز ۷ اسید چرب غذایی ۱۸ کربنی تری انوئیک (از جمله پانیسیک اسید) در برابر سرطان پروستات انسانی مورد بررسی قرار گرفته و مشخص شد قدرت سیتوتوکسیک مربوط به پانیسیک اسید بیشتر از بقیه است (۲۰). اثر سیتوتوکسیک ترکیبات قطبی در عصاره متابولی و آبی $\approx 80\%$ روغن هسته انان را روی سلول های سرطان پستان (MCF-7) و (MDA-MB-231) (۲۱) با اثرات ضد التهابی و آنتی اکسیدانی این ترکیبات اثرات هم افزایی دارند (۲۱). پانیسیک اسید گسترش T24 سرطان مثانه را به صورت وابسته به دوز و آپوپتوز ناشی از آن را مهار می کند (۲۲). اسید لینولنیک کونژوگه شده، تومور کولورکتال را از طریق مدولاسیون آپوپتوز و کاهش Bcl-2 پروتئین- PPAR γ و تنظیم میکند (۲۳). در سرطان پوست، روغن هسته انان اثرات مثبتی در مدل موش CD1 در برابر ۱۲ دی متیل بنزن تراسن و ۱۳ استات تترا دکا اانا فربوبول، که سرطان پوست را تحریک می کنند دارد (۲۴).

در دوز ۵۰ میکروگرم بر میلی لیتر ۵۰ درصد سلولها را در محیط کشت از بین برده است.

برای بررسی دقیق تر مکانیسم ها و اثرات بیولوژیکی مواد موثره گیاهی و همچنین اثر آنها بر فاکتورهای مختلف داخل سلولی، استفاده از شرایط کنترل شده کشت سلولی بسیار کمک کننده می باشد. این امکانات شناسایی هر چه بهتر فرایندها و فعل و افعالات داخل سلولی طی درمان سرطان با گیاهان دارویی را ممکن می سازد که می تواند به ارتقای روش های درمانی منجر گردد (۲۵). انان میوه ای غنی از آنتی اکسیدان است (۲۶-۲۷). از آنجا که تولید انواع اکسیژن واکنش دهنده بیشتر از ظرفیت آنتی اکسیدانی بدن موجب استرس اکسیداتیو و ایجاد اثرات پاتولوژیکی نظیر سرطان می شوند، یکی از راه های موثر حذف گونه های اکسیژن واکنش دهنده ترکیبات آنتی اکسیدانی می باشد. این خواص آنتی اکسیدانی در مقالات مختلف، به عوامل متفاوتی در میوه انان از جمله، محتوای بالای فلاونوئیدها، ساپونین و ترکیبات پلی فنولیک موجود در انان و همچنین به ترکیبات موجود در روغن هسته انان از جمله محتوای پانیسیک اسید آن (یک نوع اسید چرب کونژوگه شده) نسبت داده شده است (۲۱، ۲۵ و ۲۶). بررسی ها نشان داده است که اسید لینولنیک کونژوگه شده Conjugated linolnic Acid (CLnA) (۲۷) بیشتری نسبت به اسید لینولنیک کونژوگه شده Conjugated linolnic Acid (CLA) در سلول های تومور دارد (۱۸). پانیسیک اسید و سایر ترکیبات موجود در انان (اسید الازیک، اسید کافنیک و لوتوولین) اثر مهاری در برابر تهاجم های

که پانیسیک اسید روغن هسته انار دارای اثر سمیت سلولی بر روی سلول-های سرطانی خون میلوبئد K562 بوده است. در مقالات مختلفی اثرات مفید انار بر کاهش غلظت لپتین و افزایش آدیبونکتین و افزایش انسولین و همچنین به عنوان یک آکونینست طبیعی PPARY در بافت چربی بررسی شده است (۴۴-۳۹). ولی با توجه به نیاز به مطالعه بیشتر بروی پانیسیک اسید که قسمت عمده روغن هسته انار را تشکیل میدهد این مطالعه شکل گرفته و ادامه بررسی های مولکولی بروی اثر خذ سرطانی پانیسیک اسید و بررسی بروی بیان متالوپروتئینازها توصیه میشود.

نتیجه‌گیری:

نتایج مطالعه حاضر نشان داد که پانیسیک اسید دارای اثرات سمیت برروی سلول های سرطانی k562 می باشد، با توجه به این که نشانه های اثر پانیسیک اسید بر توقف تقصیم میتوز در این تحقیق مشاهده شد پانیسیک اسید می تواند به عنوان یک ماده مکمل شیمی درمانی در دوز بدست آمده جهت درمان و حتی پیشگری از این نوع سرطان رایج و سایر سلول های سرطانی به صورت *invivo* جهت پژوهش های بعدی میتواند بسیار با ارزش باشد.

تشکر و قدردانی:

تمام هزینه های این پژوهش توسط نویسنده هی مسئول تأمین شده است. نویسنده های مراتب سپاس و قدردانی خود را از ریاست محترم دانشگاه پیام نور واحد شهر ری به خاطر فراهم آوردن محیط آزمایشگاه برای انجام این تحقیق اعلام می دارد.

منابع:

1. McPherson RA, Pincus MR. Henry's clinical diagnosis and management by laboratory methods: Elsevier Health Sciences; 2011; 616-617.
2. Melo JV, Goldman J. Myeloproliferative disorder. 1thed. Berlin: Springer 2007; 1-13.
3. Geary C. The story of chronic myeloid leukaemia. British journal of haematology. 2000; 110(1): 2-11.
4. Hoffbrand AV, Catovsky D, Tuddenham EG. Postgraduate haematology. 6thed.UK: Wiley Blackwell Publishing 2011; 483-501.
5. Goldman JM. Initial treatment for patients with CML. ASH Education Program Book 2009; 2009(1): 453-460.
6. Moosavi MA, Yazdanparast R, Sanati MH. The cytotoxic and anti-proliferative effects of 3-Hydrogenkjadaphnin in K562 and Jurkat cells is reduced by guanosine. J Biochem Mol Biol 2005; 38: 391-398.
7. Kemnitzer W, Drewe J, Jiang S, Zhang H, Zhao J, Crogan-Grundy C. Discovery of 4-aryl 4Hchromenesas a new series of apoptosis inducers using a cell- and caspase-based hightthroughputscreening assay. 4 structure-activity relationships of fused rings at the 7, 8-positions. J Med Chem 2007; 50: 2858-2864.

همچنین پانیسیک اسید در مهار تکثیر سلولی سرطان پستان نیز دیده شده است (۲۳). لوتوولین و اسید الازیک (موجود در آب انار) و پانیسیک اسید، اثر مهاری بر گسترش سرطان پروستات، رگ زایی و متاستاز دارند و تکثیر سلولی را در هر دو سلول حساس به استروژن وغیر حساس به استروژن در سرطان پستان مهار می کنند (۲۲). در زمینه اثرات ضد التهابی روغن هسته انار نیز بررسی های متعددی کاهش کبدی NF-kb و مهار بیان سیتوکین IL-6, IL-8, IL-23, TNF- α , IL-12, IL-12, TNF- α , IL-8, IL-23, NF-kb و کاهش میزان پراکسیدازو اسید نیتریک را نشان می دهد (۴۷-۴۵). کاتالازو گلوتاتیون پراکسیدازو اسید نیتریک را نشان می دهد (۴۷-۴۵).

درزینه بررسی اثرات ضد سرطانی ترکیبات متعددی از انار مورد استفاده قرار گرفته است از جمله اثر مفید الازیک اسید آب انار (که قادر تی دوبرابر چای سبز و شراب قرمز دارد) و روغن هسته انار برش سلول های سرطان پروستات، سرطان کولون، ریه، پستان، پوست، لوكمی و کبد می باشد (۱۷، ۳۷، ۳۸، ۲۲، ۲۰، ۱۰، ۵۷، ۵۸، ۶۰). هم چنین اثرات آنتی اکسیدانی و ضد اکسیداسیون پانیسیک اسید مورد بررسی قرار گرفته است (۴۹، ۴۸).

به هر حال یکی از بهترین و کم عارضه ترین کاندیداهای سنتز داروهای ضد سرطان، گیاهان دارویی دارای اثر سمی و به ویژه سمیت سلولی هستند، که سمیت آنها بر روی کشت سلولی قبل اندازه گیری باشد. از سوی دیگر ترکیبات با منشا گیاهی به علت فراوانی بیشتر، دسترسی آسان تر و تداخلات دارویی کمتر، امروزه کانون توجه داروسازان به منظور سنتز داروهای جدید در درمان بیماری هایی مثل سرطان ها می باشند (۲۰)، با نظر اجمالی به جدول، نمودار و شکل ارائه شده در نتایج می توان ادعا کرد

8. Ali K, Che-Man YB, Roberts TH. 2014. Physico-chemical properties and fatty acid profile of seed oils from pomegranate (*Punica granatum L.*) Extracted by cold pressing. Eur J Lipid Sc Tech 224: 547-553.
9. Arao K, Yotsumoto H, Seo HY, Nagao K, Yanagita T. 2004a. The 0cis, 22trans, 23cis isomer of conjugated linolenic acid reduces apolipoprotein B200 secretion and triacylglycerol synthesis in HepG7 cells. Biosc Biotech Biochem 42: 7463-7465.
10. Lansky EP, Newman RA. 2007. *Punica granatum* (pomegranate) and its potential for prevention and treatment of inflammation and cancer. J Ethnopharm 109: 177-206.
11. Lansky EP, Newman RA. 2007. *Punica granatum* (pomegranate) and its potential for prevention and treatment of inflammation and cancer. J Ethnopharm 109: 177-206.
12. Lansky EP, Harrison G, Froom P, Jiang W. 2005a. Pomegranate (*Punica granatum*) pure chemicals show possible synergistic inhibition of human PC-3 prostate cancer cell invasion across Matrigel. Investig New Drugs 23: 121-122.
13. Lansky EP, Jiang W, Mo H, Bravo L, Froom P, Yu W, Harris NM, Neeman I, Campbell MJ. 2005b. possible synergistic prostate cancer suppression by

- anatomically discrete pomegranate fractions. *Investig New Drugs* 23: 11–20.
14. Spilmont M, Leotoing L, Davicco MJ, Lebecque P, Mercier S, Miot-Noirault E, Pilet P, Rios L, Wittrant Y, Coxam V. 2013. Pomegranate seed oil prevents bone loss in a mice model of osteoporosis, through osteoblastic stimulation, osteoclastic inhibition and decreased inflammatory status. *J Nut Biochem* 76: 2260–2262.
 15. Calder PC. 2013. Long chain fatty acids and gene expression in inflammation and immunity. *Curr Opin Clin Nut Met Care* 24: 675–733.
 16. Yamasaki M, Kitagawa T, Koyanagi N, Chujo H, Maeda H, Kohno-Murase J, Imamura J, Tachibana H, Yamada K. 2006. Dietary effect of pomegranate seed oil on immune function and lipid metabolism in mice. *Nutrition* 77:56–60.
 17. Kohno H, Suzuki R, Yasui Y, Hosokawa M, Miyashita K, Tanaka T. 2004. Pomegranate seed oil rich in conjugated linolenic acid suppresses chemically induced colon carcinogenesis in rats. *Cancer Sci* 05: 622–624.
 18. Boroushaki MT, Mollazadeh H, Rajabian A, Dolati K, Hoseini A, Paseban M, Farzadnia M. 2014. Protective effect of pomegranate seed oil against mercuric chloride-induced nephrotoxicity in rat. *Renal Failure* 34: 2522–2524.
 19. Lansky EP, Harrison G, Froom P, Jiang W. 7005a. Pomegranate (*Punica granatum*) pure chemicals show possible synergistic inhibition of human PC-3 prostate cancer cell invasion across Matrigel. *Investig New Drugs* 73: 272–277.
 20. Gasmi J, Sanderson T. 2010. Growth inhibitory, antiandrogenic, and pro-apoptotic effects of PA in LNCaP human prostate cancer cells. *J Agri Food Chem* 52(73): 27260–27264.
 21. Wang L, Green MM. 2014. Pomegranate and its components as alternative treatment for prostate cancer. *Intl J Mol Sci* 25(0):26060–44
 22. Grossmann ME, Mizuno NK, Schuster T, Cleary MP. 2010. Punicic acid is an omega-5 fatty acid capable of inhibiting breast cancer proliferation. *Int J Oncol* 34: 672–674.
 23. Tran HN, Bae SY, Song BH, Lee BH, Bae YS, Kim YH, Lansky EP, Newman RA. 7020. Pomegranate (*Punica granatum*) seed linolenic acid isomers: concentration-dependent modulation of estrogen receptor activity. *Endocrine Res* 35: 2–24.
 24. Wang W, Wang H, Wang J, Ye S, Xiao S. 2009. Induction of apoptosis by punicic acid in bladder carcinoma T76 cells. *J Dalian Polytechnic Univ* 37: 27–35.
 25. Tanaka T, Hosokawa M, Yasui Y, Ishigamori R, Miyashita K. 2011. Cancer chemopreventive ability of conjugated linolenic acids. *Int J Mol Sci* 27: 2500–2605.
 26. Hora JJ, Maydew ER, Lansky EP, Dwivedi C. 2003. Chemopreventive effects of pomegranate seed oil on skin tumor development in CD2 mice. *J Med Food* 4: 242–252.
 27. Shokrgozar M, Zali H, Rezaei-Tavirani M, Amanzadeh A. Comparison of two staining assays trypan blue and MTT in vitro evaluation of human calprotectin proliferation inhibition on human gastric cancer cell. *Kowsar Med J*. 2007; 12: 127-137.[Persian]
 28. Rapport L, Robinson C. Cell Titer 96 and titer 96 AG, non-radioactive cell proliferation assay. *Promega Notes Magazine*. 1993; 44: 46-47.
 29. Shahrokhabadi KH, Baharara J, Zafar Balanejad S, Hesami Z. The effect of atorvastatin on progress and proliferation of MCF7 breast cancer cell line. *J Zanjan Unit Med Sci* 2012; 21(88): 1-11.
 30. Goodwin C, Holt S, Downes S, Marshall N. Microculture tetrazolium assays: a comparison between two new tetrazolium salts, XTT and MTS. *Journal of immunological methods* 1995; 179(1): 95-103.
 31. Shahrokhabadi Kh, Tavakkolafshari J, Rakhsandeh H, Brook A. Study of cytotoxicity effect of total saffrons extract on HepG2 cell ine. *Tehran Azad Univ Med Sci J* 2009; 19: 153-9.
 32. Wyllie A, Kerr JFR, Currie AR. Cell death: The significance of Apoptosis. *Int Rev Exp Pathol* 1999; 32: 323–354.
 33. Rowan S, Fisher DE. Mechanism of apoptotic celldeath. *Leukemia* 1997; 11: 457-465.
 34. Rahmani M, Nguyen TK, Dent P, Grant S. The multikinase inhibitor sorafenib induces apoptosis in highly ImatinibMesylate-resistant Bcr/Abl+ human leukemia cells in association with signaltransducer and activator of transcription 5 inhibition and myeloid cell leukemia-1 down-regulation. *Mol Pharmacol* 2007; 72: 788-795.
 35. Deshpande J, Choudhari A, Mishra M, Meghre V, Wadodkar S, Dorle A. Beneficial effects of *Lagenaria siceraria* (Mol.) Standley fruit epicarp in animal models. *Indian journal of experimental biology* 2008; 46(4): 234-242.
 36. Deshpande J, Choudhari A, Mishra MA, Meghre VS, Wadodkar S, Dorle A. Beneficial effects of *Lagenaria siceraria* fruit epicarp in animal models. *Experimental Biology* 2008; 46: 234-342.
 37. Igarashi M, Miyazawa T. 2000. Newly recognized cytotoxic effect of conjugated trienoic fatty acids on cultured human tumor cells. *Cancer Let* 262: 223–230.
 38. Wang L, Green MM. 2014. Pomegranate and its components as alternative treatment for prostate cancer. *Intl J Mol Sci* 25(0): 26044–26060.
 39. Arao K, Wang Y, Inoue N, Hirata J, Cha J, Nagao K, Yanagita T. 2004b. Dietary effect of pomegranate seed oil rich in 0cis, 22trans, and 23cis conjugated linolenic acid on lipid metabolism in obese, hyperlipidemic OLETF rats. *Lipids Health Dis* 3: 30–76.

40. Bassaganya-Riera J. 2011. Method of using punicic acid to enhance immune response and prevent metabolic disorders. US patent No. 70220750732 A2.
41. Bassaganya-Riera J, Guri AJ, Hontecillas R. 2011a. Treatment of obesity-related complications with novel classes of naturally occurring PPAR agonists. *J Obesity* (<http://dx.doi.org/2082255570225202206>).
42. Bassaganya-Riera J, DiGuardo M, Climent M, Vives C, Carbo A, Jouni ZE, Elnerhand AW, O'Shea M, Hontecillas R. Activation of PPAR gamma and delta by dietary PA ameliorates intestinal inflammation in mice. *Br J Nutr* 2004; 222–224.
43. Nishimura K, Tsumagari H, Morioka A, Yamauchi Y, Miyashita K, Lu S, Jisaka M, Nagaya T, Yokota K. 2007. Regulation of apoptosis through arachidonate cascade in mammalian cells. *Appl Biochem Biotech* 2011; 730–750.
44. Vroegrijk IOCM, Diepen JAV, Berg SVD, Westbroek I, Keizer H, Gambelli L, et al. Pomegranate seed oil, a rich source of PA, prevents diet-induced obesity and insulin resistance in mice. *Food Chem Toxicol* 2011; 60:2674–30.
45. Colombo E, Sangiovanni E, Dell' Agli M. 2013. A review on the anti-inflammatory activity of pomegranate in the gastrointestinal tract. *Evidence-Based Complementary Alt Med*, Art. ID 762265, p 22 (<http://dx.doi.org/2082255570235762265>).
46. Saha SS, Ghosh M. 2012. Comparative study of antioxidant activity of alpha-eleostearic acid and PA against oxidative stress generated by sodium arsenite. *Food Chem Toxicol*; 62: 7552–7554.
47. Anusree SS, Priyanka A, Nisha VM, Das AA, Raghu KG. 2015. An in vitro study reveals the nutraceutical potential of punicic acid relevant to diabetes via enhanced GLUT6 expression and adiponectin secretion. *Food Funct*; 5(20): 7402–7500.
48. Mizrahi M, Friedman-Levi Y, Larush L, Frid K, Binyamin O, Dori D, Fainstein N, Ovadia H, Ben-Hur T, Magdassi S, Gabizon R. Pomegranate seed oil nanoemulsions for the prevention and treatment of neurodegenerative diseases: the case of genetic CJD. *Nanomedicine* 2014; 10: 1353–1363.
49. Mukherjee C, Bhattacharyya DK. Oxidative stability of some seed oils containing conjugated octadecatrienoic fatty acids isomers. *J Lipid Sci Tech* 2006; 32: 225–227.
50. Mongelli E, Pampuro S, Coussio J, Salomon H, Ciccia G. Cytotoxic and DNA interaction activities of extracts from medicinal plants used in Argentina. *Journal of ethnopharmacology* 2000; 71(1): 145–151.
51. Paudel KR, Panth N. Phytochemical profile and biological activity of *Nelumbo nucifera*. *Evidence-based Complementary and Alternative Medicine* 2015; 789124.
52. Lee HH, Paudel KR, Kim DW. 2015. Terminalia chebula fructus inhibits migration and proliferation of vascular smooth muscle cells and production of inflammatory mediators in RAW 264.7. *Evidence-based Complementary and Alternative Medicine* 2015; 502182.
53. Chribasik Hausmann S, Vlachojannis C, Zimmermann B. Pomegranate juice and prostate cancer: importance of the characterisation of the active principle. *Phytother Res* 2014; 28: 1676–1678.
54. Chen SR, Qiu HC, Hu Y, Wang Y, Wang YT. Herbal medicine offered as an initiative therapeutic option for the management of hepatocellular carcinoma. *Phytother Res* 2016; 30: 863–877.
55. Arumugam N, Bhowmick NA, Rupasinghe HP. A review: phytochemicals targeting JAK/STAT signaling and IDO expression in cancer. *Phytother Res* 2015; 29: 805–817.
56. Vini R, Juberiya AM, Sreeja S. Evidence of pomegranate methanolic extract in antagonizing the endogenous SERM, 27 hydroxycholesterol. *IUBMB Life* 2016; 68: 116–121.
57. Bhatia D, Thoppil RJ, Mandal A, Samtani KA, Darvesh AS, Bishayee A. Pomegranate bioactive constituents suppress cell proliferation and induce apoptosis in an experimental model of hepatocellular carcinoma: role of Wnt/β-catenin signaling pathway. *Evidence-based Complementary and Alternative Medicine* 2013; 371813.
58. Dahlawi H, Jordan-Mahy N, Clench M, McDougall GJ, Maitre CL. are responsible for the proapoptotic properties of pomegranate juice on leukemia cell lines. *Food Sci Nutr* 2013; 1: 196–208.
59. Nunez-Sanchez MA, Davalos A, Gonzalez-Sarrias A, et al. MicroRNAs expression in normal and malignant colon tissues as biomarkers of colorectal cancer and in response to pomegranate extracts consumption: critical issues to discern between modulatory effects and potential artefacts. *Mol Nutr Food Res* 2015; 59: 1973–1986.
60. Shirode AB, Kovvuru P, Chittur SV, Henning SM, Heber D, Reliene R. Antiproliferative effects of pomegranate extract in MCF7 breast cancer cells are associated with reduced DNA repair gene expression and induction of double strand breaks. *Mol Carcinog* 2014; 53: 458–470.
61. Vicinanza R, Zhang Y, Henning SM, Heber D. 2013. Pomegranate juice metabolites, ellagic acid and urolithin a, synergistically inhibit androgen-independent prostate cancer cell growth via distinct effects on cell cycle control and apoptosis. *Evidence-based Complementary and Alternative Medicine* 2013; 247504.
62. Zhou B, Yi H, Tan J, Wu Y, Liu G, Qiu Z. Anti-proliferative effects of polyphenols from pomegranate rind (*Punica granatum L.*) on EJ bladder cancer cells via regulation of p53/miR-34a axis. *Phytother Res* 2015; 29: 415–422.
63. Goodwin C, Holt S, Downes S, Marshall N. Microculture tetrazolium assays: a comparison between

two new tetrazolium salts, XTT and MTS. Journal of immunological methods 1995; 179(1): 95-103.

64. Kim HA, Cho ML, Choi HY, Yoon CS, Jhun JY, Oh HJ, et al. The catabolic pathway mediated by Toll-like receptors in human osteoarthritic chondrocytes. *Arthritis Rheum* 2006; 54: 2152-2163.

65. Panth N, Paudel KR, Parajuli K. Reactive oxygen species: a key hallmark of cardiovascular disease. *Advance in Medicine* 2016; 1-12.

66. Vlachojannis C, Zimmermann BF, Chrubasik-Hausmann S. 2015. Efficacy and safety of pomegranate medicinal products for cancer. *Evidence-based Complementary and Alternative Medicine* 2015; 258598.

67. Sadrolhosseini AR, Noor ASM, Husin MS, Sairi NA. Green synthesis of gold nanoparticles in pomegranate seed oil stabilized using laser ablation. *J Inorg Organometallic Polymers Mate* 2014; 24: 1009-1013.

68. Mizrahi M, Friedman-Levi Y, Larush L, Frid K, Binyamin O, Dori D, Fainstein N, Ovadia H, Ben-Hur T, Magdassi S, Gabizon R. Pomegranate seed oil nanoemulsions for the prevention and treatment of neurodegenerative diseases: the case of genetic CJD. *Nanomedicine* 2014; 10: 1353-1363.

Yuan GF, Sinclair AJ, Xu C, Li D. Incorporation and metabolism of punicalic acid in healthy young humans. *Mol Nut Food Res* 2009; 53: 1336-1342.



LipidService

9(Z),11(E),13(Z)-Octadecatrienoic acid (Punicic acid)



Amount: >25 mg. Crystalline solid

Package: Plastic tube purged and closed under argon

Precautions: Should be stored at -25°C or below. Protect from light.

Cat. no.: 10-1803-27

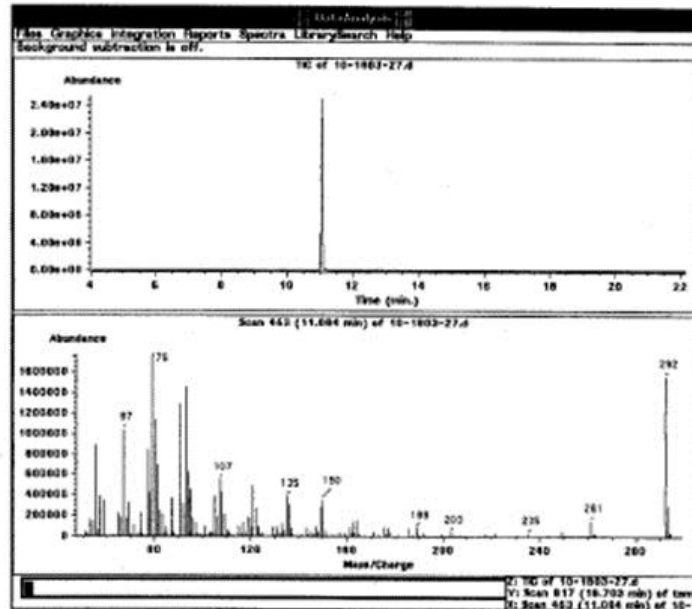
Lot No.: LS-088

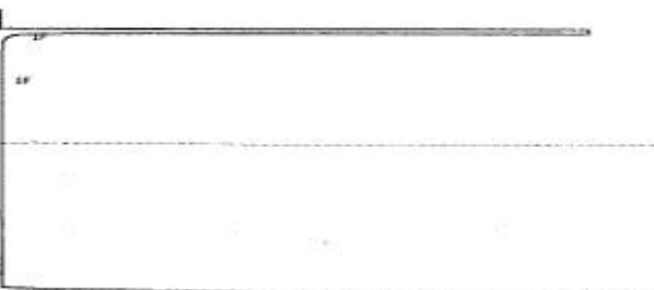
Identity

The identity of the material is based on its mode of preparation and on the mass spectrum (attached) recorded on the methyl ester derivative.

Purity

>98%. The chemical purity was determined by GC-MS analysis of the methyl ester derivative using a capillary column of 5% phenylmethylsiloxane (12 m, 0.33 µm film thickness, carrier gas: helium). The temperature was raised from 120°C to 260°C at a rate of 10°C/min (GC-MS analysis attached). Analysis was also performed by GLC using FID detection and a methylsilicone capillary column (25 m, 0.33 µm film thickness, carrier gas: helium) at 200 °C (attached).





END OF SIGNAL

Closing signal file RSIGNAL.EIG
TIME = JAN 1. 1981 19:04:07
SIGNAL FILE: RSIGNAL.EIG
APPROX. ULTRA-II 2041 1981
OBJECTS

X	AREA	TYPE	WIDTH	AREA
9.398	376636	SP	-145	98.4917
9.392	4313	PE	-986	1.5683